

СООБЩЕНИЯ
ОБЪЕДИНЕННОГО
ИНСТИТУТА
ЯДЕРНЫХ
ИССЛЕДОВАНИЙ
ДУБНА



С346.4г
И-851

9/11-1

P2 - 6943

1316/2-73

П.С.Исаев, В.И. Хлесков

ВЛИЯНИЕ ВЫБОРА ПАРАМЕТРИЗАЦИИ ФАЗ
 $\pi\pi$ -РАССЕЯНИЯ НА СЕЧЕНИЯ РЕАКЦИЙ
 $\gamma + \gamma \rightarrow \pi + \pi$ И $\gamma + \gamma \rightarrow \gamma + \gamma$

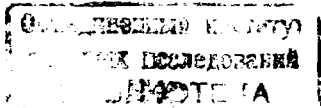
1973

ЛАБОРАТОРИЯ
ТЕОРЕТИЧЕСКОЙ ФИЗИКИ

P2 - 6943

П.С.Исаев, В.И. Хлесков

ВЛИЯНИЕ ВЫБОРА ПАРАМЕТРИЗАЦИИ ФАЗ
 $\pi\pi$ -РАССЕЯНИЯ НА СЕЧЕНИЯ РЕАКЦИЙ
 $\gamma + \gamma \rightarrow \pi + \pi$ И $\gamma + \gamma \rightarrow \gamma + \gamma$



Запуск и эксплуатация встречных электрон-позитронных ускорителей с энергией пучков 2-5 Гэв делает возможным экспериментальное изучение процессов взаимодействия света со светом $\gamma + \gamma \rightarrow$ адроны^{/1-2/}. При этих энергиях существенную роль в реакциях взаимодействия встречных пучков с образованием других частиц начинают играть двухфотонные процессы, т.е. такие, в которых конечные частицы порождаются парой виртуальных фотонов.

С этой точки зрения интересно экспериментальное изучение реакции взаимодействия двух γ -квантов с образованием пары $\bar{\Lambda}$ -мезонов. Исследование этого процесса позволило бы получить ряд сведений о $\Lambda \bar{\Lambda}$ -взаимодействии (изучение фаз $\Lambda \bar{\Lambda}$ -рассеяния, возможных σ , f и др. резонансов) и проверить справедливость различных теоретических предсказаний для этой реакции.

В нашей работе^{/3/} был проведен детальный теоретический анализ процесса $\gamma + \gamma \rightarrow \bar{\Lambda} + \Lambda$ в области низких энергий с помощью метода дисперсионных соотношений. Дисперсионные сингулярные интегральные уравнения для парциальных волн рас-

сметриваемого процесса были получены на основе аналитических свойств амплитуд по переменной прямого канала $t = (\kappa + \kappa')^2$ (κ и κ' - четырехимпульсы первоначальных фотонов), а также из условия двухчастичной унитарности (двухпionное промежуточное состояние) и решались по методу Мухелишвили-Гахова^{/4/} сведением их к краевой задаче Римана. Решение подобной задачи в частном случае нулевых асимптотик фаз $\pi\pi$ -рассеяния

$\delta_e^{(\pi)}(t)$ (при $t \rightarrow \infty$) единственно и записывается в виде^{/4/}:

$$T_{\alpha\beta}^{(\pi)}(t) = X^+(t) A_{\alpha\beta}^+(t) + B_{\alpha\beta}^{(\pi)}(t) e$$

$$X^+(t) = e^{i\delta_e^{(\pi)}(t)} \exp \left\{ \frac{t}{\pi} P \int \frac{\delta_e^{(\pi)}(t')}{t'(t'-t)} dt' \right\} \quad (I)$$

$$A_{\alpha\beta}^+(t) = \frac{t}{\pi} \int \frac{e^{i\delta_e^{(\pi)}(x)} \sin \delta_e^{(\pi)}(x) \frac{4M_\pi^2}{x(x-t-i\varepsilon)} B_{\alpha\beta}^{(\pi)}(x) e}{x(x-t-i\varepsilon) X^+(x)} dx$$

Здесь $\frac{t}{\pi} \int \frac{e^{i\delta_e^{(\pi)}(x)} \sin \delta_e^{(\pi)}(x) \frac{4M_\pi^2}{x(x-t-i\varepsilon)} B_{\alpha\beta}^{(\pi)}(x) e}{x(x-t-i\varepsilon) X^+(x)} dx$ - амплитуда парциальной ν -волны процесса $\gamma + \gamma \rightarrow \pi + \bar{\pi}$ с заданным изотопическим спином T_j , $B_{\alpha\beta}^{(\pi)}(t)$ - вклад π, ω, ρ обменных диаграмм в процесс. Фактически (I) есть частное решение неоднородной краевой задачи Римана.

Исследования^{/3/} показали, что $\pi\pi$ -взаимодействие играет в процессе существенную роль. Эксперимент и фазовый анализ делят для фазы S -волны $\delta_s^0(t)$ $\pi\pi$ -рассеяния двузначное решение (down и down-up наборы экспериментальных точек). В работе^{/3/} сечение S -волны процесса

$\gamma\gamma \rightarrow \pi\pi$ было рассчитано с использованием для фазы $\delta_s^0(t)$

аналитических выражений, которые в области известных экспериментальных значений ($\sqrt{t} \lesssim 1$ Гэв) были хорошо согласованы с down- и down-up-наборами.

Основные характерные особенности поведения сечений существенно зависят от вида параметризации (down, down-up) фазы $\delta_s^0(t)$ $\pi\pi$ -рассеяния. Расчеты показали, что вклад неупругих процессов в области высоких энергий ($\sqrt{t} > 1$ Гэв), а также быстрота спадения фаз к нулевому асимптотическому значению не существенно меняют низкоэнергетическое поведение полученных сечений (10-20%). С другой стороны, изменения фаз в низкоэнергетической и пороговой областях приводят к пропорциональным изменениям сечений $\gamma + \gamma \rightarrow \pi + \pi$ в этих областях энергий. Напомним, что результаты были получены для фаз $\delta_e^{(\pi)}(t)$, асимптотически стремящихся к нулю (что соответствует нулевому индексу α краевой задачи Римана). При этом фазы $\delta_s^0(t)_{\text{down-up}}$ и $\delta_d^0(t)$, резонансные в точках $M_S \approx 730$ Мэв и $M_f \approx 1260$ мэв, соответственно, при выбранной нами асимптотике, второй раз проходили 90° в области M_{S^*} и M_f' и при больших энергиях практически обращались в нуль.

В настоящей работе рассмотрен другой возможный случай, когда фазы $\delta_s^0(t)_{\text{down-up}}$ и $\delta_d^0(t)$ в асимптотике стремятся к 180° . Он принципиально отличается от предыдущего тем, что индекс α задачи Римана в этом случае равен единице, решение сингулярного интегрального уравнения неоднозначно и содержит, наряду с частным решением неоднородного уравнения (I), общее решение однородного уравнения, содержащее произвольную константу (полином степени $\alpha-1$):

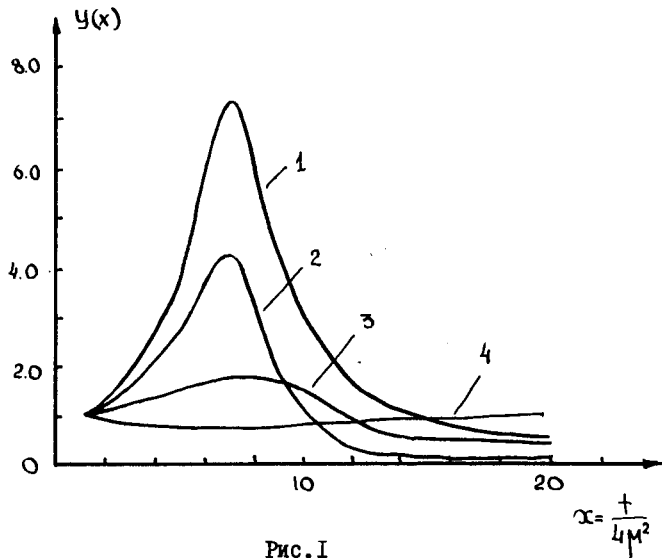


Рис. I

Графики функции $Y(x) = \exp\left\{\frac{x}{\pi} \int_1^{\infty} \frac{\delta_e^T(x') dx'}{x'(x'-x)}\right\}$ для следующих вариантов параметризации фаз $\pi\bar{\pi}$ рассеяния (см. соответствующие кривые в работе /3/): (1) - $\delta_s^0(\infty)_{\text{down-up}} = \bar{\pi}$; (2) - $\delta_s^0(\infty)_{\text{down-up}} = 0$; (3) - $\delta_s^0(t)_{\text{down}}$; (4) - $\delta_s^2(t)$.

$$T_{ap}^{(\pi)}(t)_e^{(2)} = T_{ap}^{(\pi)}(t)_e^{(1)} + e^{i\delta_e^T(t)} \cdot e^{\frac{\pm p}{4m^2} \int_1^{\infty} \frac{\delta_e^T(t')}{t'(t'-t)} dt'} \cdot \alpha, \quad (2)$$

где α - произвольная константа. Функция $y(x) = \exp\left\{\frac{x}{\pi} \int_1^{\infty} \frac{\delta_e^T(x')}{x'(x'-x)} dx'\right\}$, входящая в выражения (1) и (2), ведет себя по-разному для разных параметризаций фаз $\pi\bar{\pi}$ - рассеяния. На рис. I показаны графики функции $y(x)$, которые соответствуют разным вариантам фаз $\pi\bar{\pi}$ - рассеяния. Кривые, полученные для случаев $\delta_s^0(\infty)_{\text{down-up}} = 0$ и $\delta_s^0(\infty)_{\text{down-up}} = \bar{\pi}$, обе имеют в области $\bar{\sigma}$ мезона ($x \approx 7,3$) резонансное поведение, но различаются по величине.

В работе /5/ дисперсионный анализ процесса $\gamma + \gamma \rightarrow \pi + \bar{\pi}$ в пороговой области энергий был проведен с использованием предположения плавности изменения функции $y(x) \approx \text{const}$. Как следует из приведенных на рис. I кривых, это предположение может быть оправдано лишь для плавных (нерезонансных) фаз $\pi\bar{\pi}$ - рассеяния (например, для $\delta_s^2(t)$). В случае фаз, содержащих резонансы, оно несправедливо.

Решения (1) и (2) имеют также и другое принципиальное различие. Перепишем (1) в следующем виде, воспользовавшись известным тождеством $\frac{1}{x+iz} = P\left(\frac{1}{x}\right) - i\pi\delta(x)$:

$$T_{ap}^{(\pi)}(t)_e^{(1)} = X^+(t) \cdot \frac{\pm p}{4m^2} \int_1^{\infty} \frac{e^{i\delta_e^T(x)} \sin \delta_e^T(x) B_{ap}^{(\pi)}(x)_e^{(1)}}{x(x-t) x^+(x)} dx + B_{ap}^{(\pi)}(t)_e \cos \delta_e^T(t) \exp(i\delta_e^T(t)). \quad (3)$$

Второй член выражения в резонансной точке $\delta_e^T = \frac{\bar{\Lambda}}{2}$ обращается в ноль. Подинтегральная функция интеграла в смысле главного значения приближенно равна ($V_{\alpha\beta}^{(T)}(t)_e$ - главная функция):

$$\frac{\sin \delta_e^T(x) V_{\alpha\beta}^{(T)}(t)_e}{x(x-t) y(x)} \approx \text{const} \cdot \frac{\sin \delta_e^T(x)}{y(x)} \cdot \frac{1}{x(x-t)} \equiv \text{const} \cdot F(x) \quad (4)$$

Функция $F(x)$, в случае нулевого асимптотического поведения фазы $\delta_s^0(t)$ ($\delta_d^0(t)$) содержит два максимума, соответствующие σ мезону (f мезону) и прохождению фазы через $\frac{\bar{\Lambda}}{2}$ при возвращении от $\bar{\Lambda}$ к нулю. В интеграл в смысле главного значения в выражении (3) второй максимум (лежащий в области энергий, больших 1 Гэв), будет входить большим положительным фоном. При этом первый член в выражении для $T_{\alpha\beta}^{(T)}(t)_e^{(4)}$ в резонансной точке $M_\sigma \approx 730$ Мэв ($x = 7,3$) будет отличен от нуля и полная парциальная амплитуда за счет функции $y(x)$ будет резонансной.

Рассмотрим теперь фазу $\delta_e^T(t)$ с асимптотическим значением, равным $\bar{\Lambda}$ ($x=1$). Использование формулы (1), представляющей частное решение неоднородного интегрального уравнения, в этом случае неправомерно. Правильное решение (2) включает теперь также общее решение однородного интегрального уравнения, которое содержит произвольную константу. В резонансной точке $\delta_s^0(M_\sigma^2)_{\text{down-up}} = \frac{\bar{\Lambda}}{2}$ (для $\delta_s^0(t)$ фазы, например) второй член в выражении для $T_{\alpha\beta}^{(T)}(t)_e^{(4)}$ также обращается в ноль ($\cos \delta_s^0 = 0$). Функция $F(x)$ в

этом случае почти симметрична относительно этой точки и имеет в ней максимальное значение. При этом интеграл в смысле главного значения от выражения (4) в резонансной точке будет близок к нулю и полная парциальная амплитуда $T_{\alpha\beta}^{(T)}(t)_e^{(4)}$ вместо пика в области σ мезона будет иметь минимум. Таким образом, одно только частное решение неоднородного интегрального уравнения в случае $\delta_s^0(\infty)_{\text{down-up}} = \bar{\Lambda}$ не приводит в точке $x = 7,3$ ($M_\sigma = 730$ Мэв) к ожидаемому резонансному поведению. В частности, в работе^{/6/} авторы использовали в расчетах случай асимптотического поведения резонансных фаз $\bar{\Lambda} \bar{\Lambda}$ - рассеяния $\delta(\infty) = \bar{\Lambda}$, но учли лишь частное решение задачи. Заметим далее, что входящее в (2) общее решение однородного уравнения имеет как раз необходимое резонансное поведение. Произвольная константа α в этом решении может быть определена из нормировки максимума резонанса на его двухфотонную ширину. В предшествующей работе^{/3/} входящая в выражение $V_{\alpha\beta}^{(T)}(t)_e$ константа $g_{\rho\pi\pi}$ фактически соответствовала ширине $\Gamma_{\rho \rightarrow \pi+\pi} \approx 0,5$ Мэв электромагнитного распада ρ мезона ($\Gamma_{\rho \rightarrow \pi+\pi} \approx \frac{g_{\rho\pi\pi}^2}{3\bar{\Lambda}} M_\rho^3 \left(\frac{M_\rho^2 - M_\pi^2}{M_\rho} \right)^3$). Экспериментальные значения для этой ширины сильно разбросаны и лежат в интервале 0,1-0,7 Мэв (см., например, данные, приведенные в работе Л.Д.Соловьева^{/7/}). В данной работе для расчетов было выбрано значение $\Gamma_{\rho \rightarrow \pi+\pi} \approx 0,1$ Мэв. С этим значением были также просчитаны для сравнения кривые сечений S -волны для down-параметризации фазы $\delta_s^0(t)$.

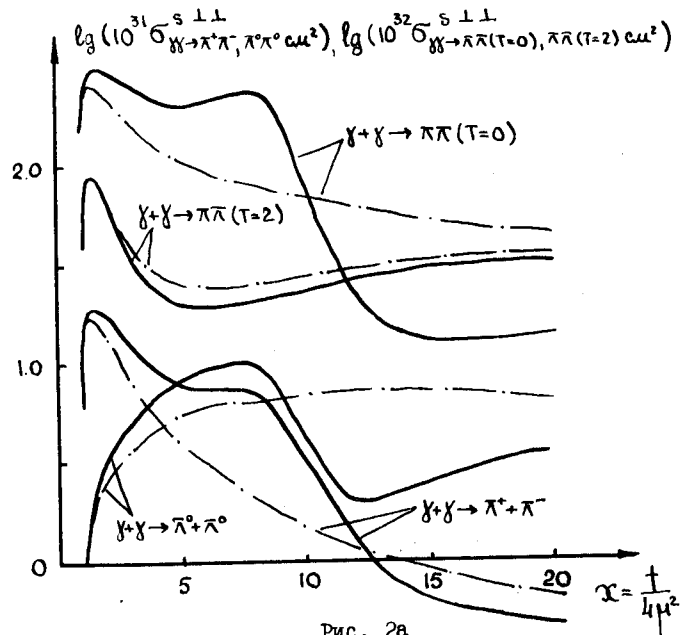


Рис. 2а

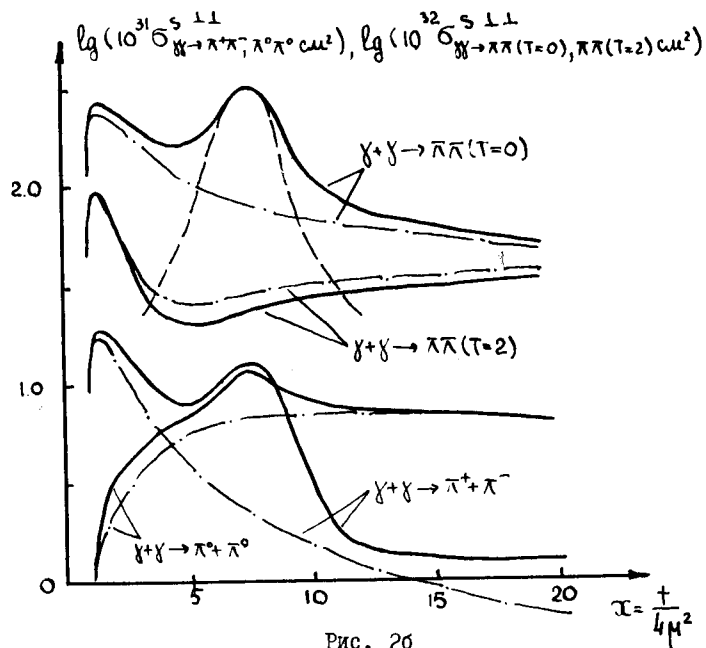


Рис. 2б

Графики сечений S -волны процесса $\gamma + \gamma \rightarrow \bar{\pi} + \pi$ для фаз $\delta_s^0(t)_{\text{down}}$ и $\delta_s^0(\infty)_{\text{down-up}} = \bar{\pi}$ ($\Gamma_{\rho \rightarrow \bar{\pi} + \pi} \approx 0,1$ Мэв) показаны на рис. 2а) и б), соответственно (штрих-пунктирные линии есть вклады в процесс ω, ρ, π обменных диаграмм, представляющих кроссинг-разрезы). На рисунке 2б) пунктиром нанесена также простейшая брэйт-вигнеровская аппроксимация σ -мезона. На рис. 3 показано сечение d -волны реакции $\gamma\gamma \rightarrow \bar{\pi}\pi$, соответствующее фазе $\delta_d^0(\infty) = \bar{\pi}$ (пунктиром показана кривая Брейта-Вигнера для f -мезона). В максимуме f -резонанса d -волна вносит в полное сечение ($\sigma_{\gamma\gamma \rightarrow \bar{\pi}\pi}(t) \approx \sigma_{\gamma\gamma \rightarrow \bar{\pi}\pi}^s(t) + \sigma_{\gamma\gamma \rightarrow \bar{\pi}\pi}^d(t)$) вклад, сравнимый с сечением S -волны. Сопоставление с результатами, полученными ранее^{/3/}, показывает, что все качественные особенности поведения сечений при изменении вклада ω, ρ обменных диаграмм и при изменении асимптотики фаз не изменяются. Величины сечений, с другой стороны, чувствительны к подобным изменениям. Решающее слово в отборе правильных решений принадлежит в данном случае эксперименту.

Из полученных ранее в работе^{/3/} амплитуд процесса $\gamma\gamma \rightarrow \bar{\pi}\pi$ были впоследствии рассчитаны парциальные S -и d -волны рассеяния света на свете через двухпионное состояние^{/8/}, а также s -и d -волны процессов $\gamma\gamma \rightarrow \bar{\pi}\pi(T=0)$ и $\gamma\gamma \rightarrow \bar{K}K(T=\infty) \rightarrow \gamma\gamma$ (рассеяние γ квантов через $\bar{K}K(T=0)$ промежуточное состояние)^{/9/}.

В настоящей работе также были получены парциальные сечения перечисленных процессов. На рис. 4 представлены графики сечений S -волны реакции $\gamma\gamma \rightarrow \bar{\pi}\pi \rightarrow \gamma\gamma$, соответствующие амплитудам $\gamma\gamma \rightarrow \bar{\pi}\pi$, down (рис. 2а) и

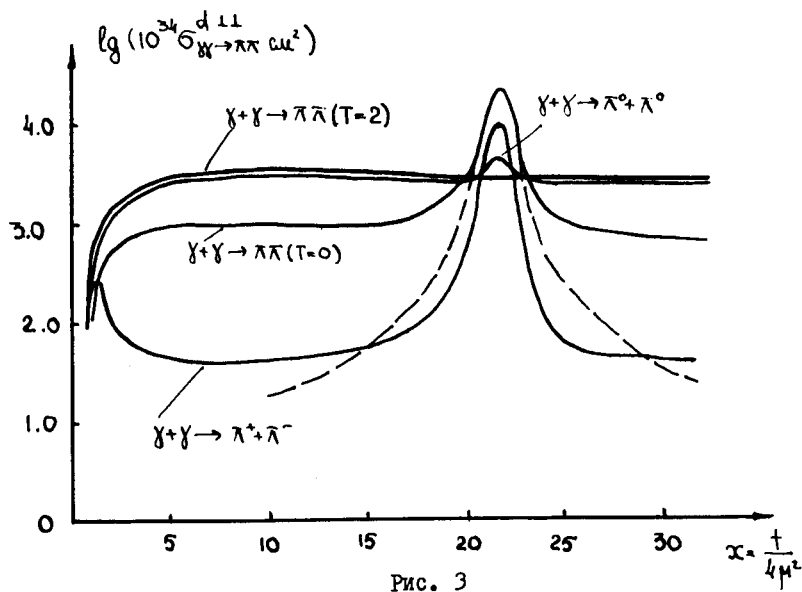


Рис. 3

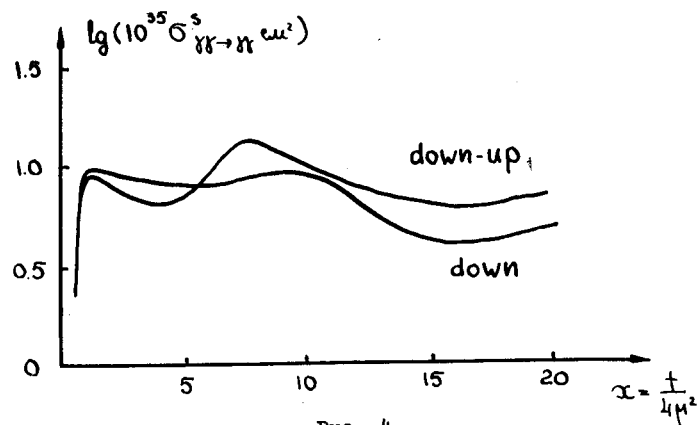


Рис. 4

down-up (рис. 2б)). Сечение d - волны рассеяния света на свете через двухпионное состояние показано на рис. 5. Отметим, что если соответствующее полное сечение рассеяния фотонов ($\sigma_{\gamma\gamma \rightarrow \gamma\gamma}(t) \approx \sigma_s(t) + \sigma_d(t)$) сравнить с электродинамическим сечением рассеяния света на свете (через электрон-позитронные пары)^{10/}, то первое будет вносить основной вклад в широкой области энергий 300-1200 Мэв.

Сечения S - и d - волн реакции $\gamma + \gamma \rightarrow K \bar{K}(T=0)$, полученные из парциальных амплитуд процесса $\gamma + \gamma \rightarrow \pi + \bar{\pi}$ (рис. 2б) и рис. 3) методом, описанным в работе^{9/}, представлены на рис. 6. По форме полученные кривые аналогичны приведенным ранее^{9/}, но отличаются от них по величине. Парциальные сечения рассеяния фотонов через $K \bar{K}(T=0)$ - состояние, которые были получены из амплитуд реакций $\gamma + \gamma \rightarrow K + \bar{K}(T=0)$, по форме также аналогичны приведенным в работе^{9/} и вносят в процесс $\gamma + \gamma \rightarrow \gamma + \gamma$ вклад, пренебрежимый в сравнении с вкладом двухпионного состояния.

В заключение выражаем благодарность И.Ф.Гинзбургу и С.Б.Герасимову за полезные обсуждения.

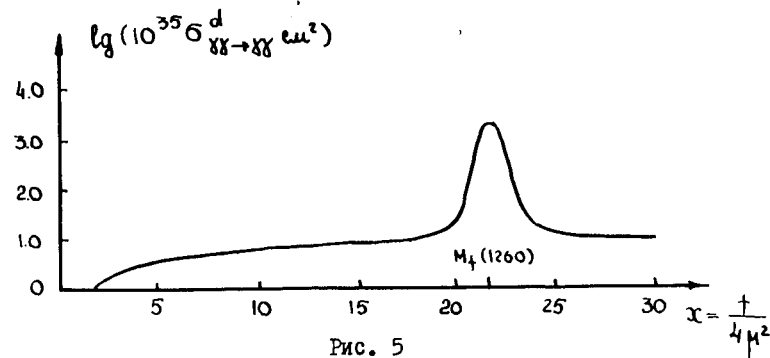


Рис. 5

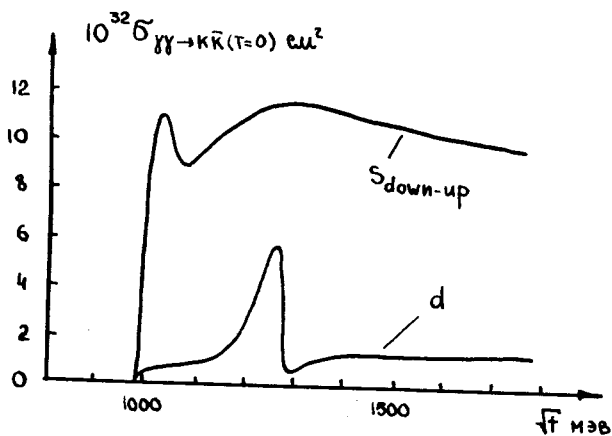


Рис. 6

Л И Т Е Р А Т У Р А

1. В.Е.Балакин, В.М.Буднев, И.Ф.Гинзбург. Письма в ЖЭТФ 11, 559 (1970).
2. S.J.Brodsky. SLAC-PUB-989 (TH) and (EXP). Dec. 1971.
3. П.С.Исаев, В.И.Хлесков, ЯФ, 16, 1012 (1972).
4. Ф.Д.Гахов. "Кривые задачи", Физматгиз, Москва (1958).
5. D.H.Lyth. Nucl.Phys.: B30, 145 (1971).
6. G.Schierholz, K.Sundermeyer. DESY 71/49, August (1971).
7. Л.Д.Соловьев, "Физика высоких энергий и теория элементарных частиц", стр. 451, изд. "Наукова думка", Киев (1967).
8. P.S.Isaev, V.I.Khleskov. JINR, E2-6473, Dubna (1972).
9. П.С.Исаев, В.И.Хлесков, ЯФ 17, 368 (1973).
10. R. Karplus, M. Neuman. Phys.Rev., 80, 380 (1950); 83, 776 (1951).

Рукопись поступила в издательский отдел
13 февраля 1973 года.